

1/21

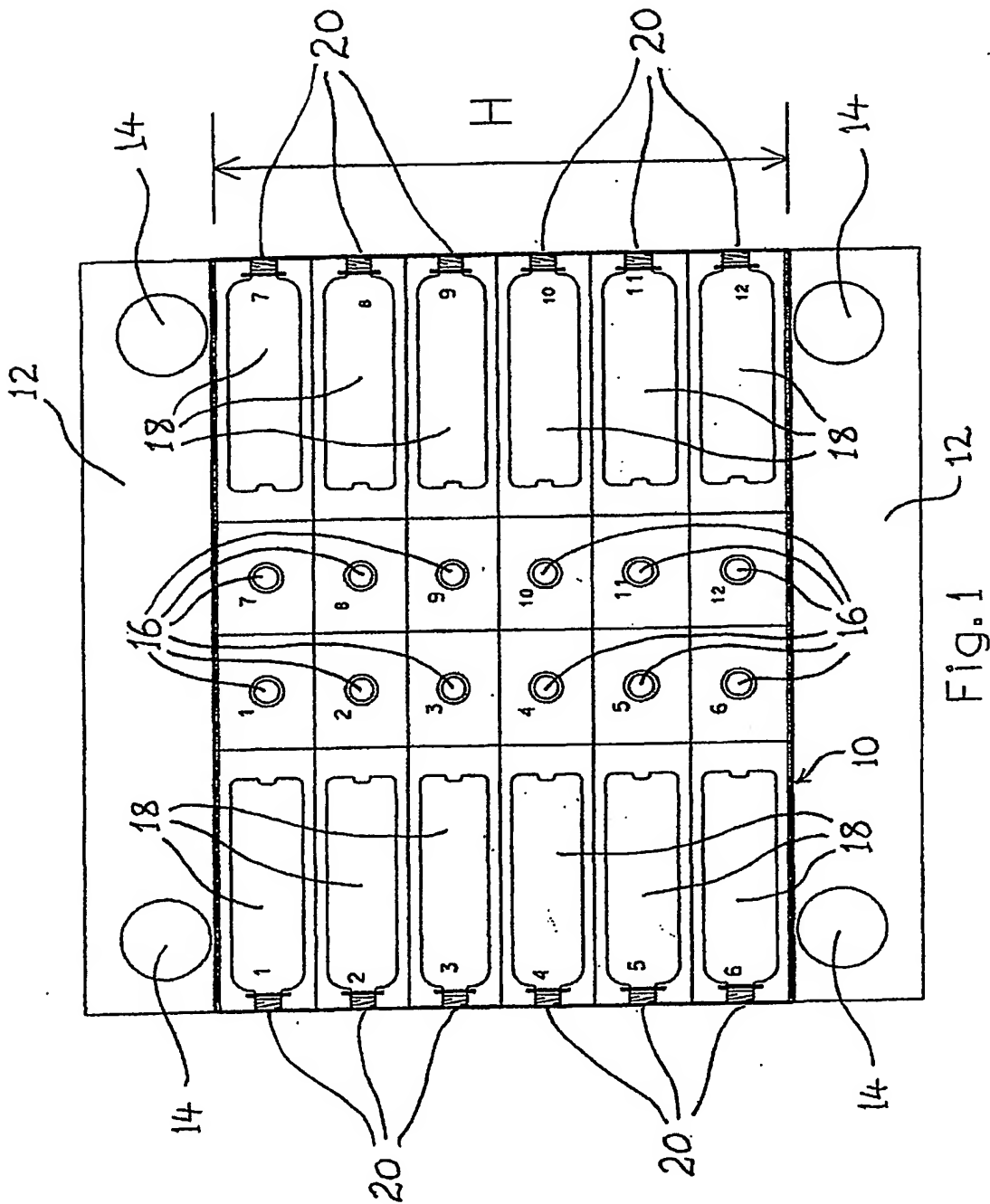


Fig. 1

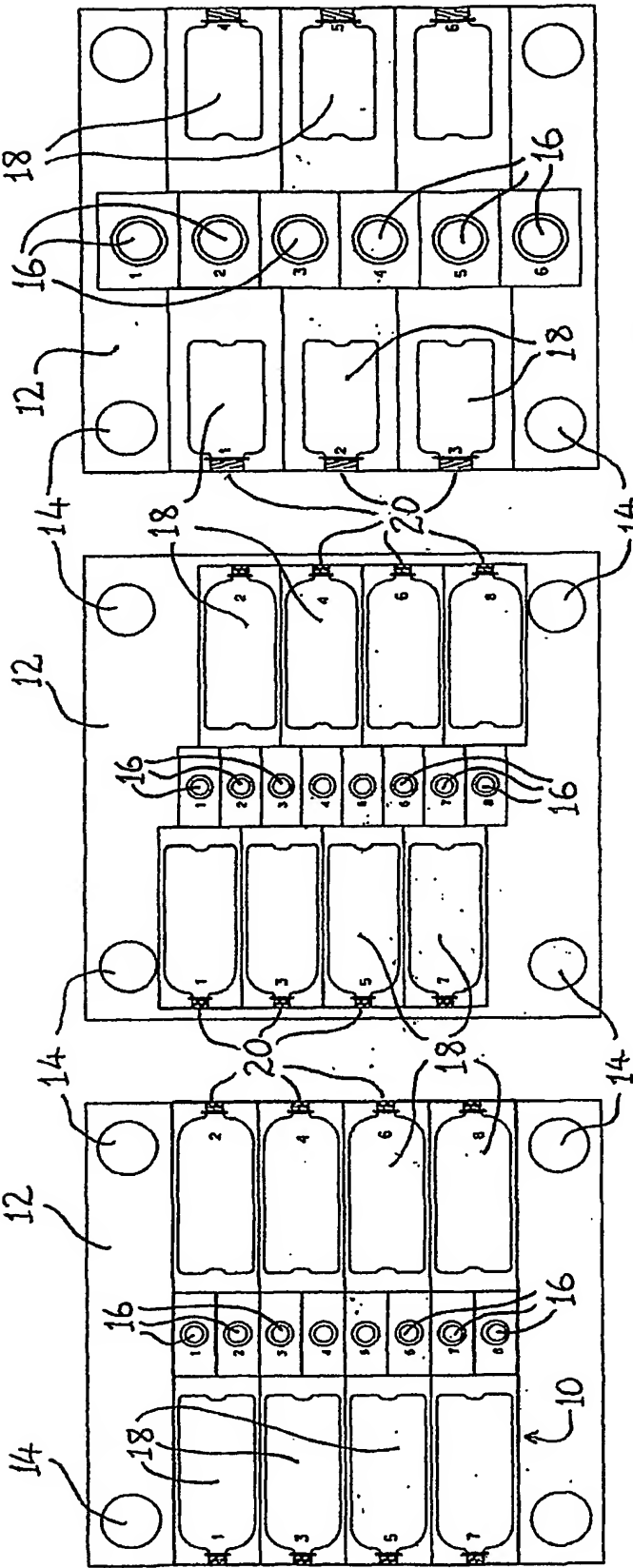
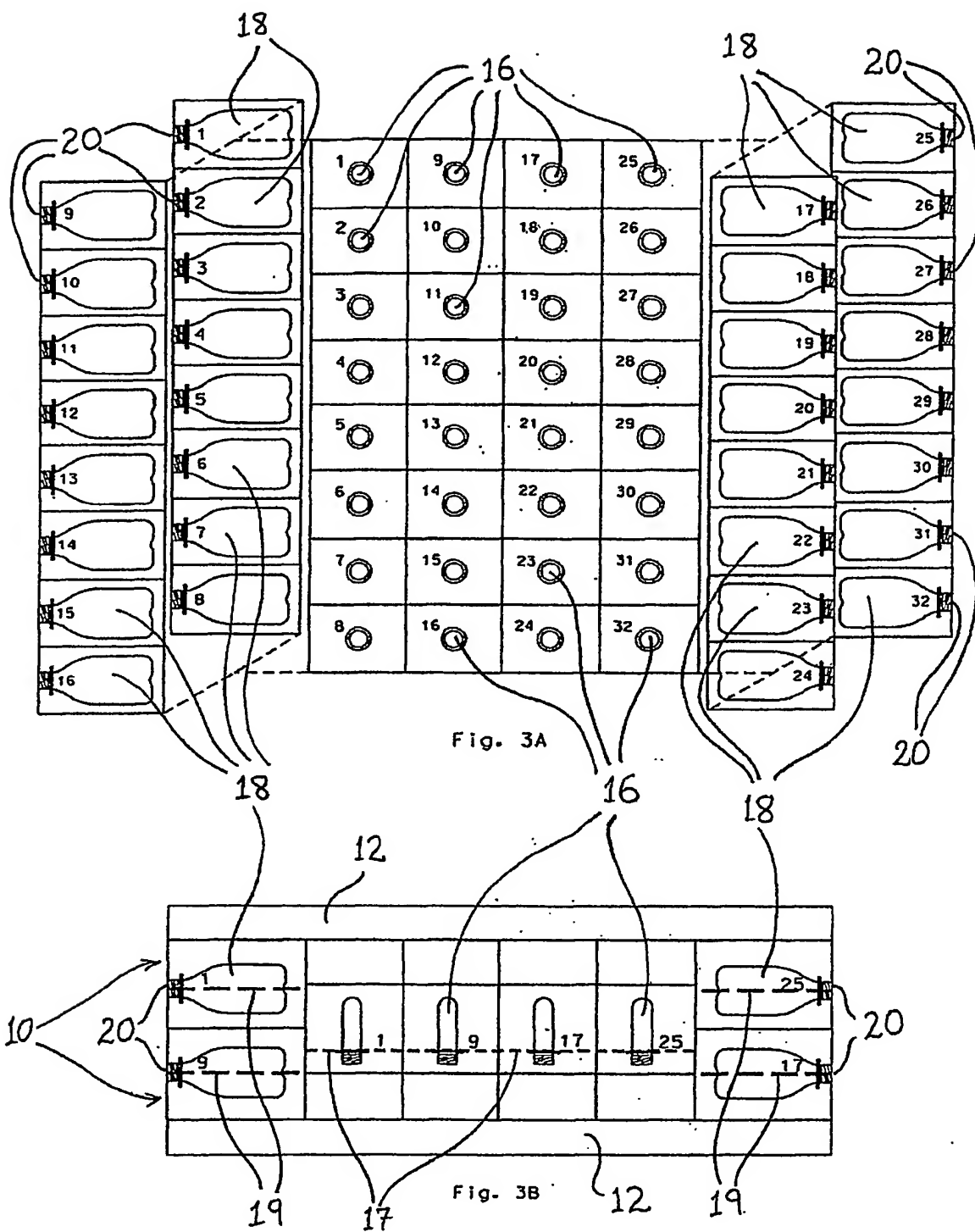


Fig. 2A: First variant

Fig. 2B: Second variant

Fig. 2C: Third variant

3/21



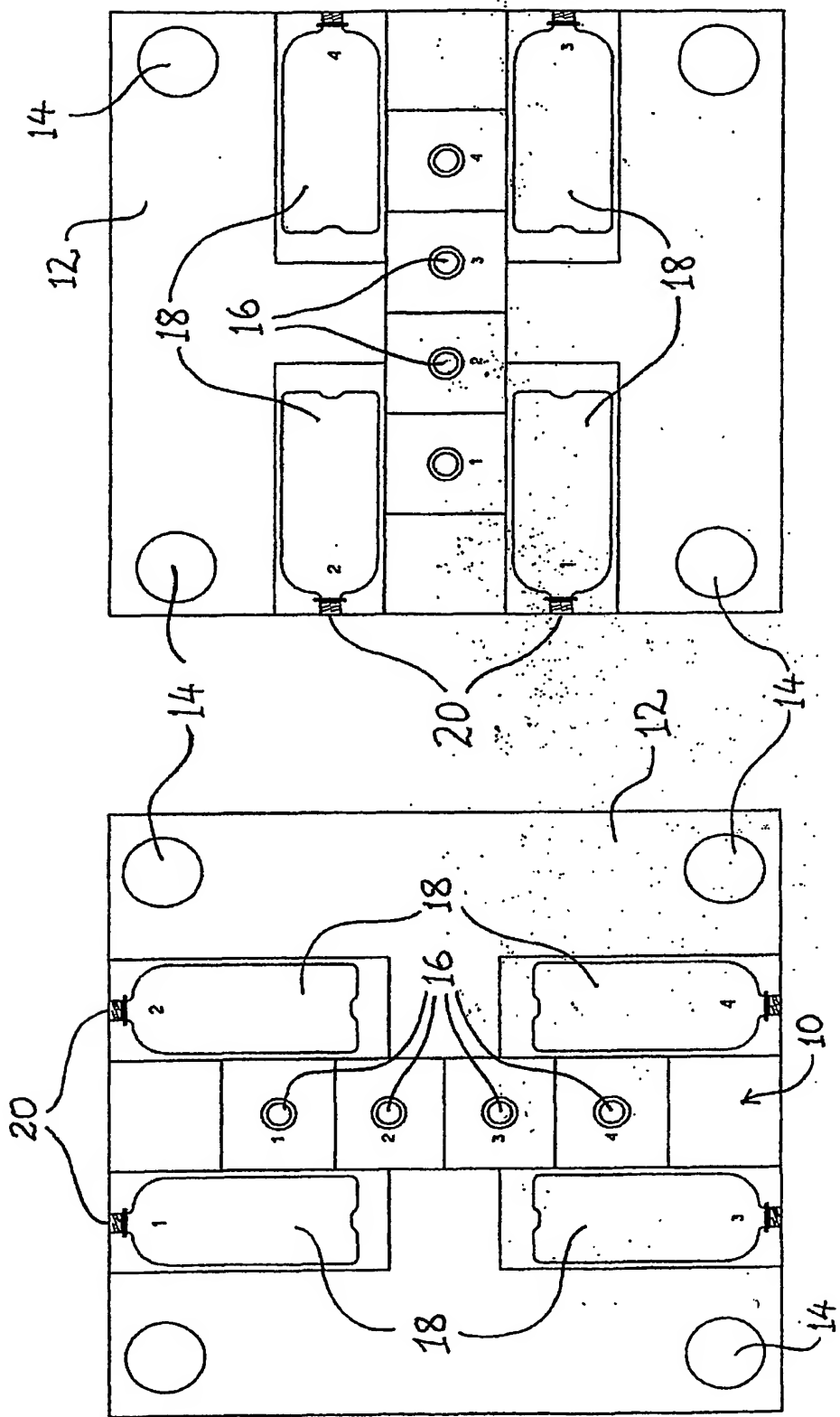


Fig. 4B

Fig. 4A

5/21

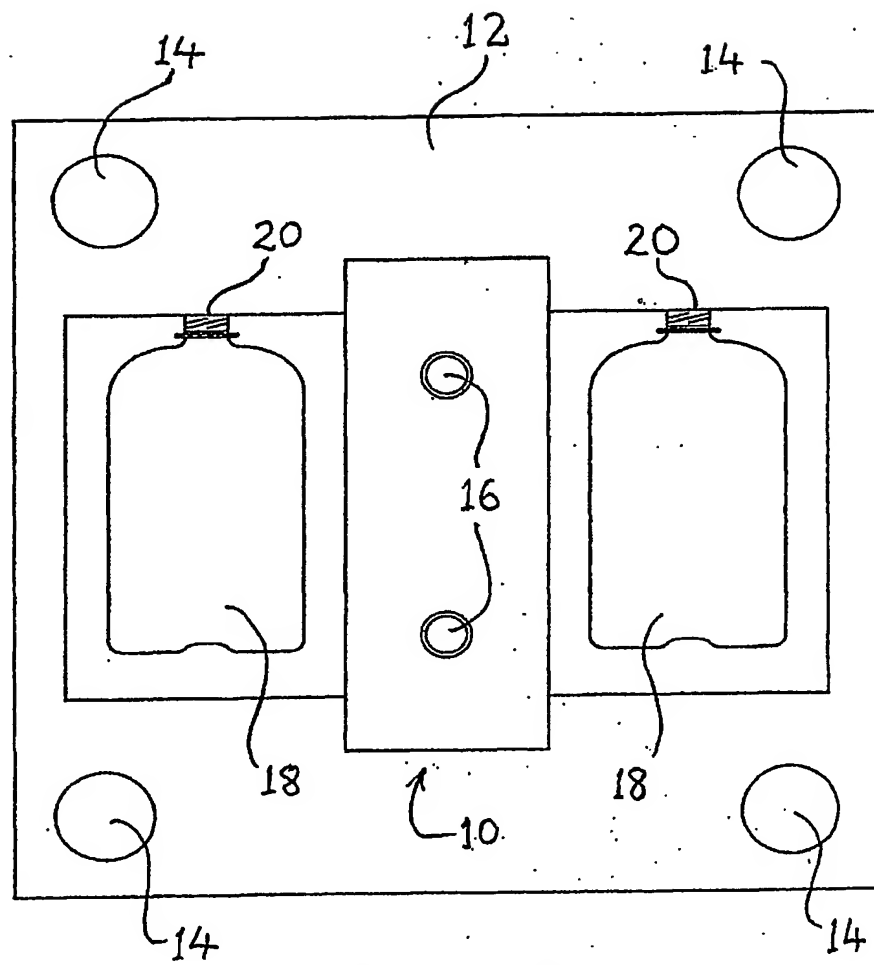


Fig. 5

6/21

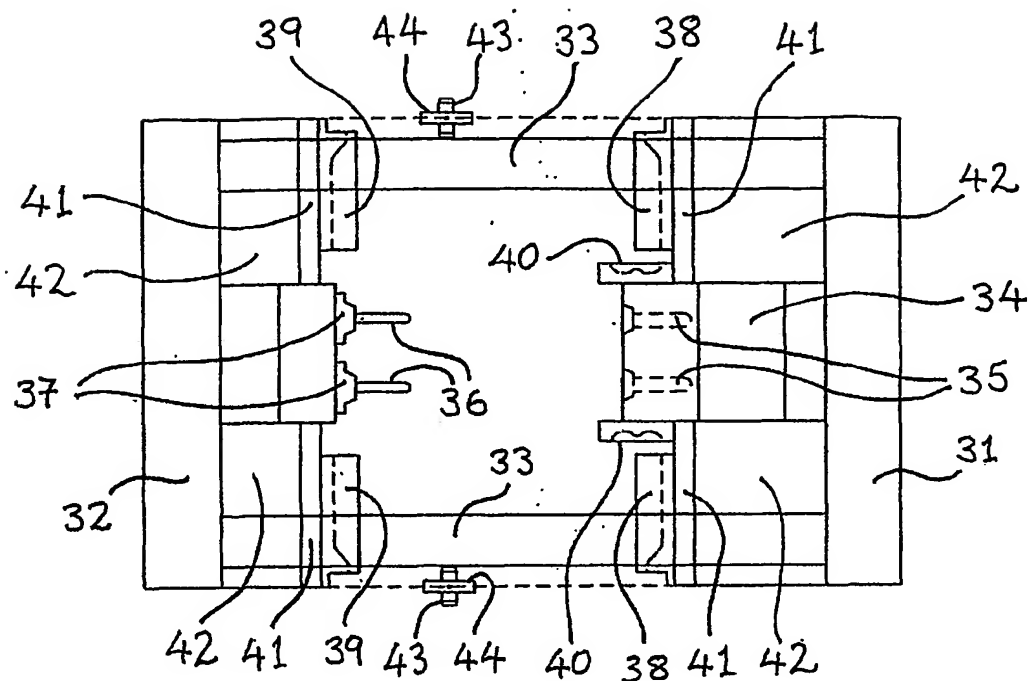


Fig. 6A

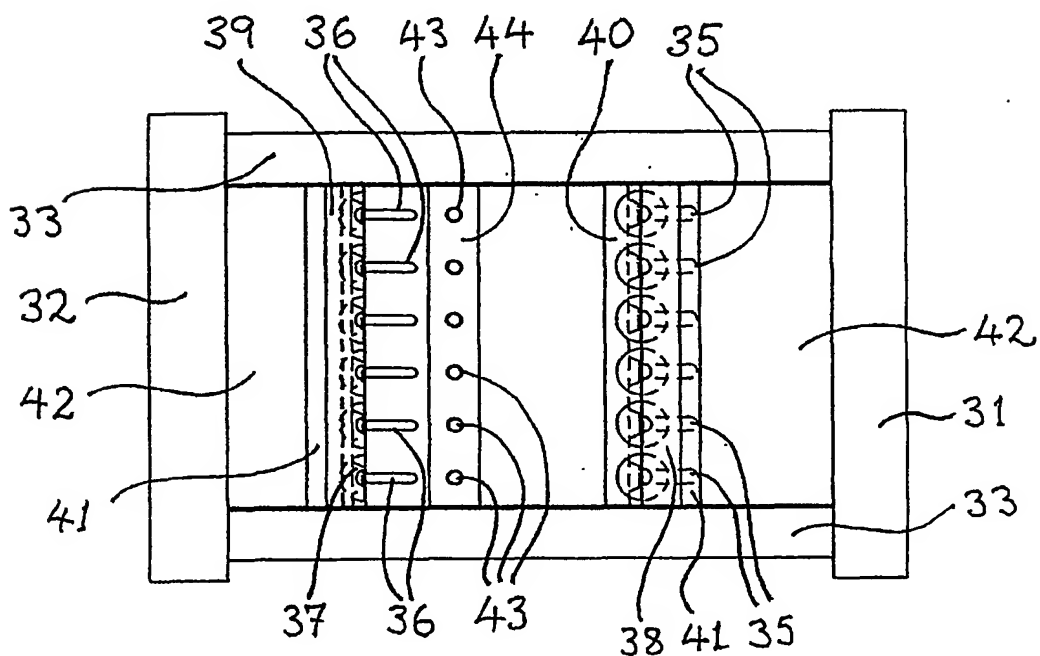
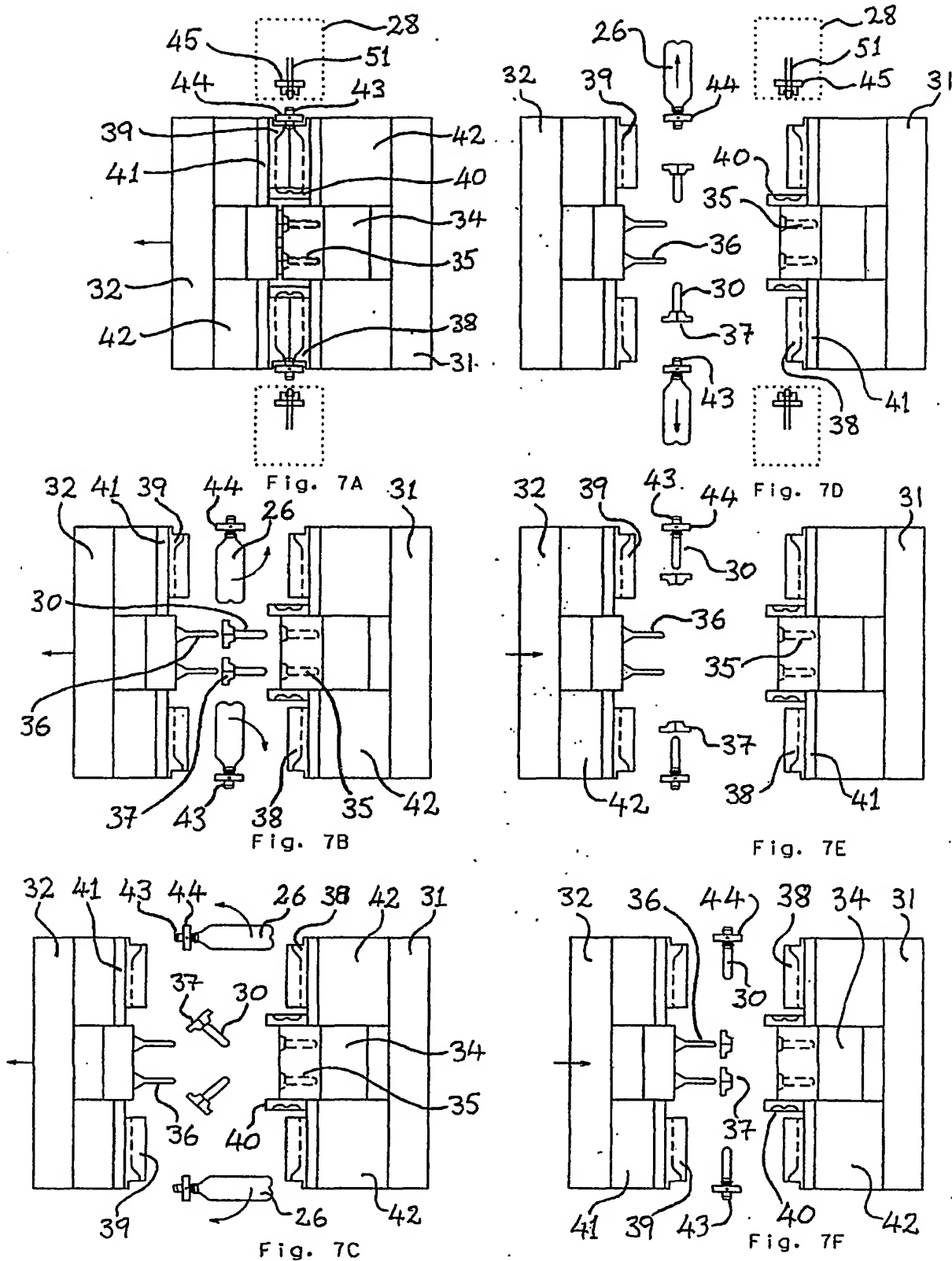


Fig. 6B

7/21



8/21

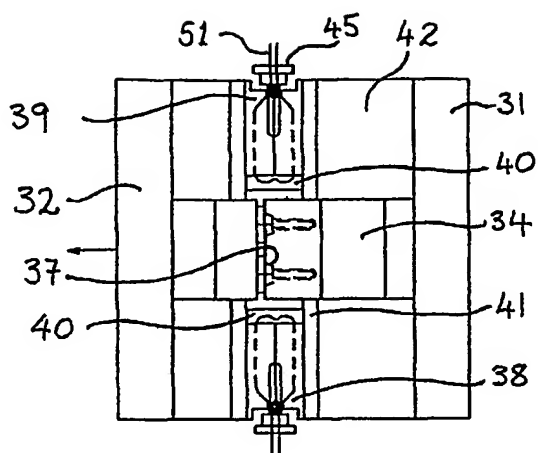


Fig. 8A

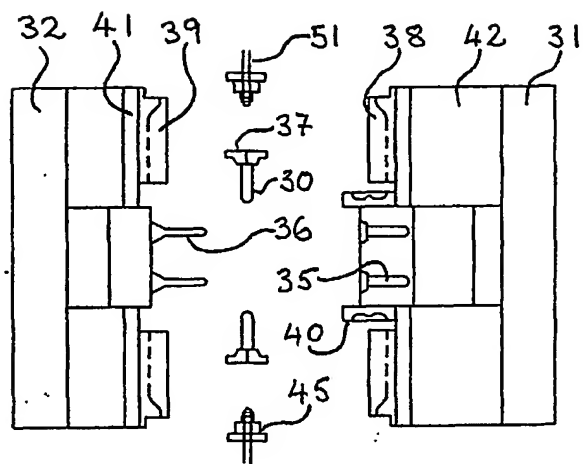


Fig. 8D

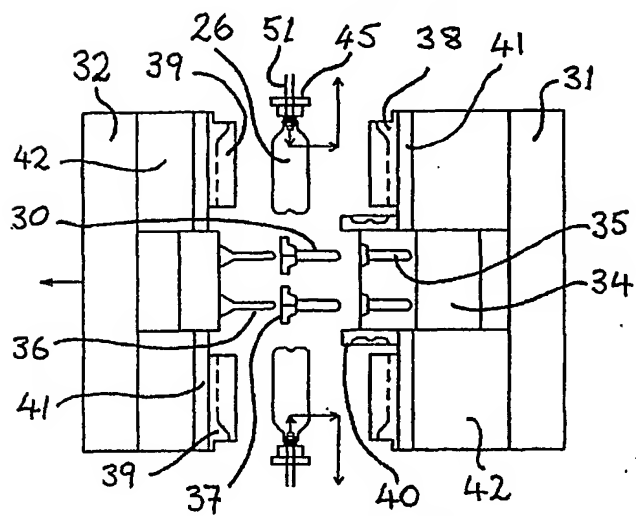


Fig. 8B

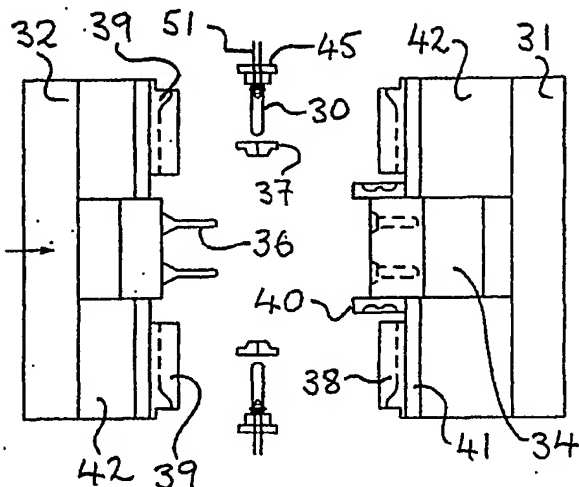


Fig. 8E

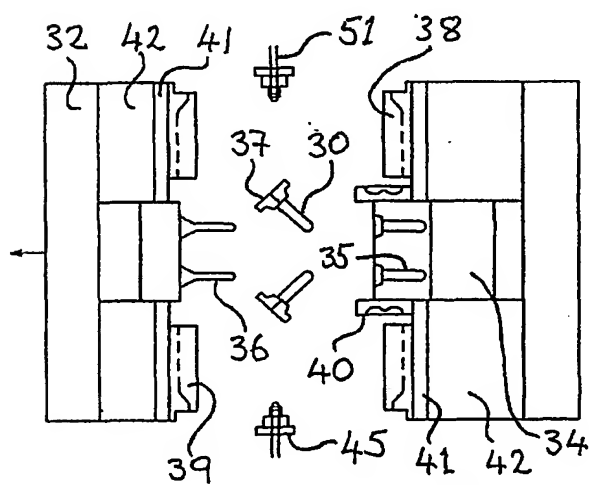


Fig. 8C

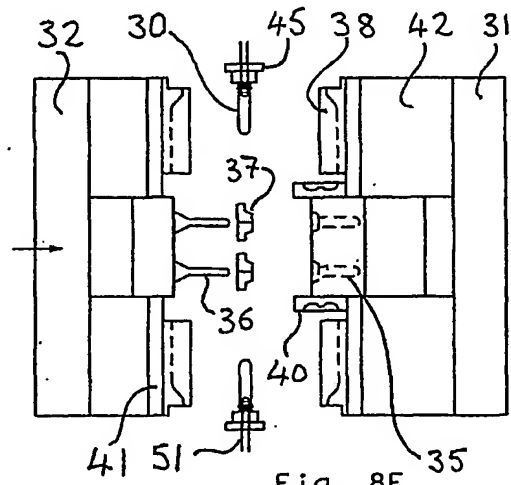


Fig. 8F



9/21

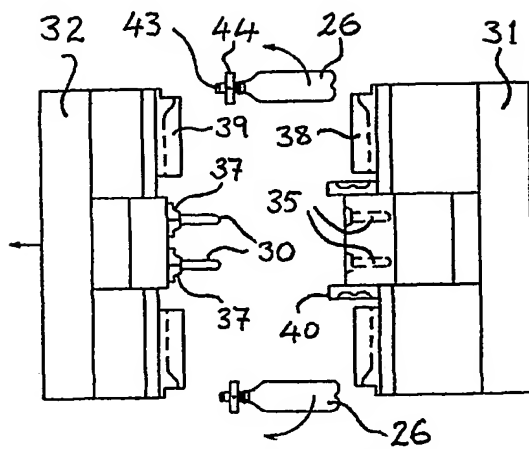


Fig. 9A

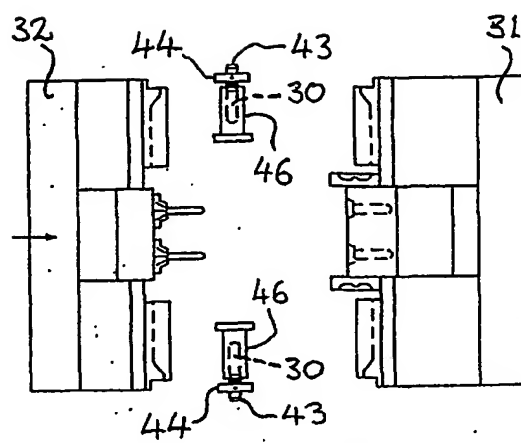


Fig. 9D

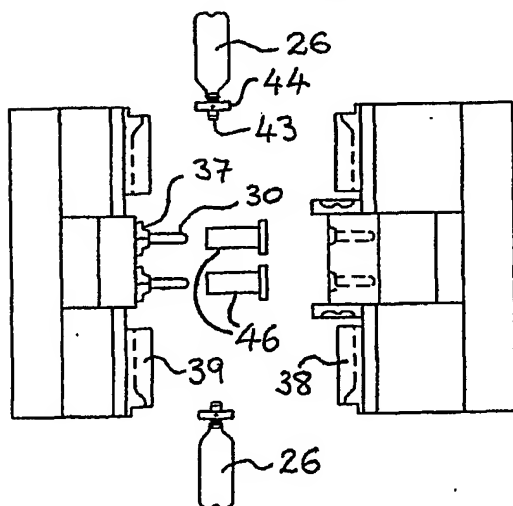


Fig. 9B

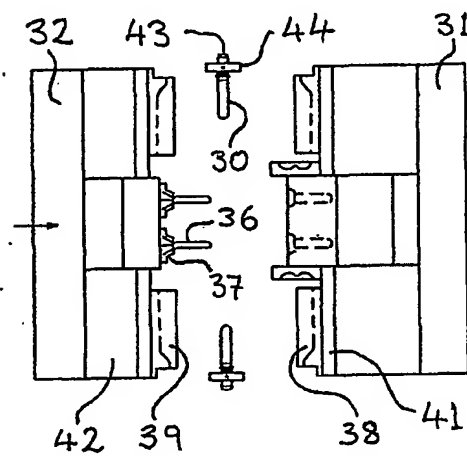


Fig. 9E

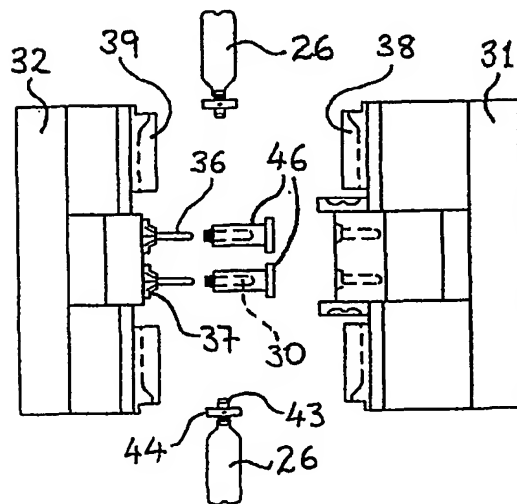


Fig. 9C

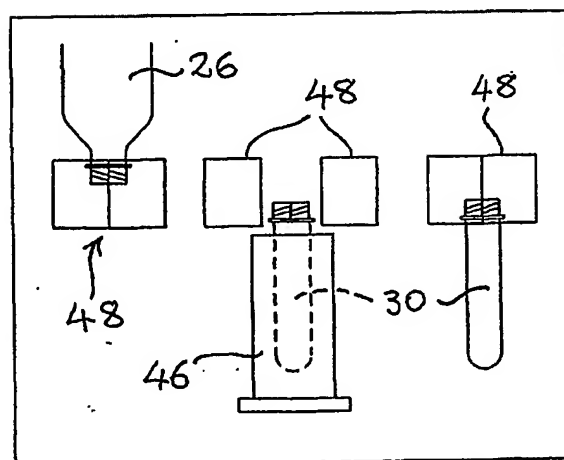


Fig. 9F

10/21

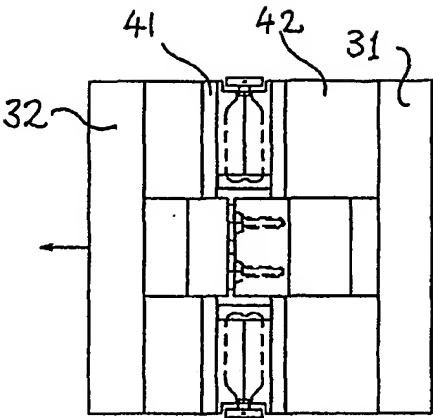


Fig. 10A

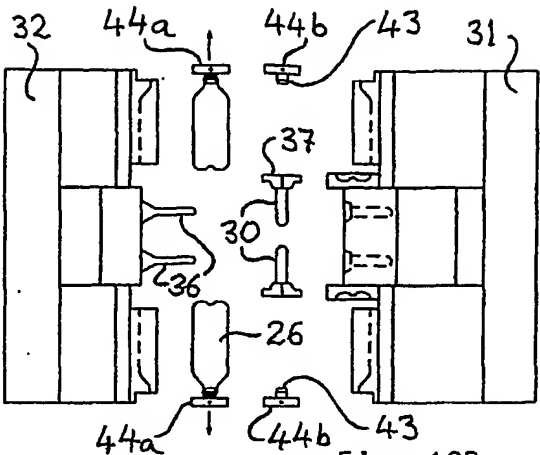


Fig. 10D

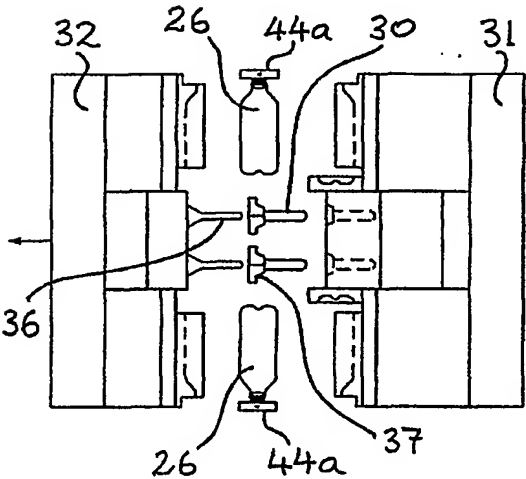


Fig. 10B

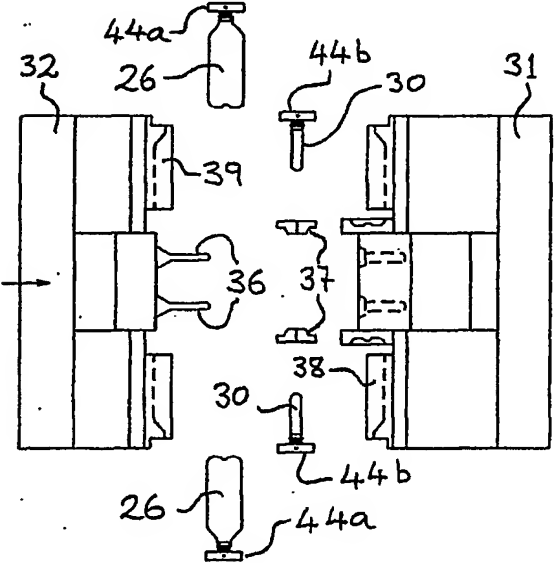


Fig. 10E

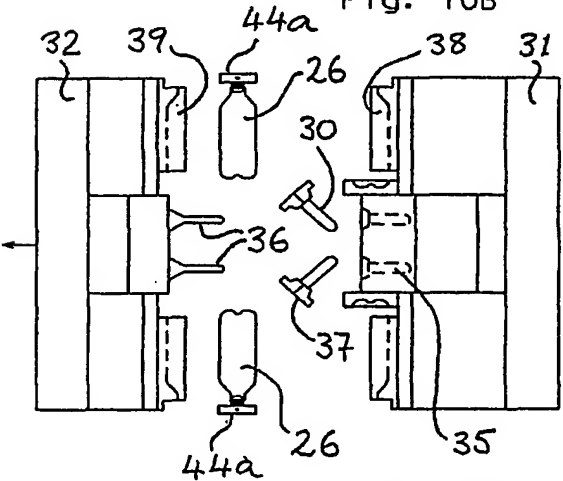


Fig. 10C

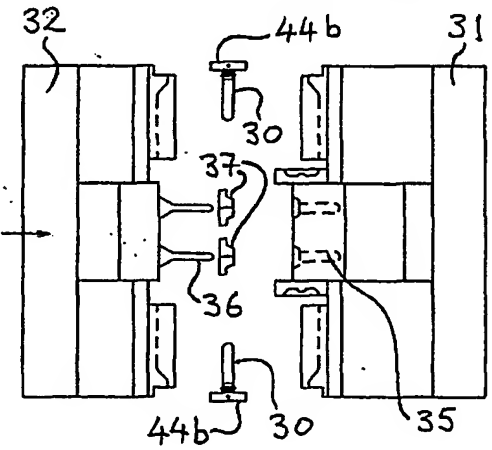


Fig. 10F

11/21

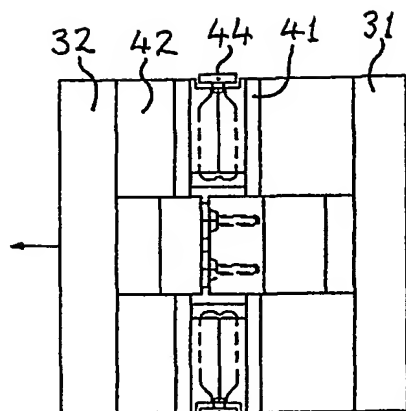


Fig. 11A

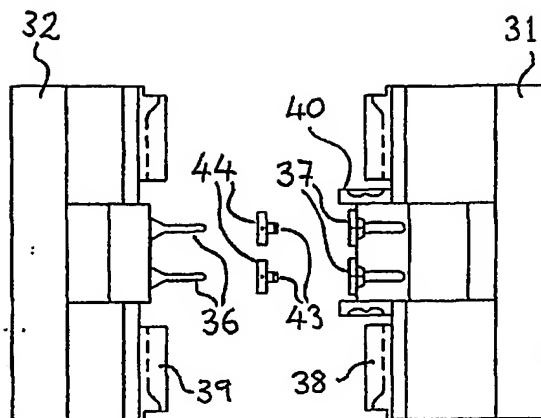


Fig. 11D

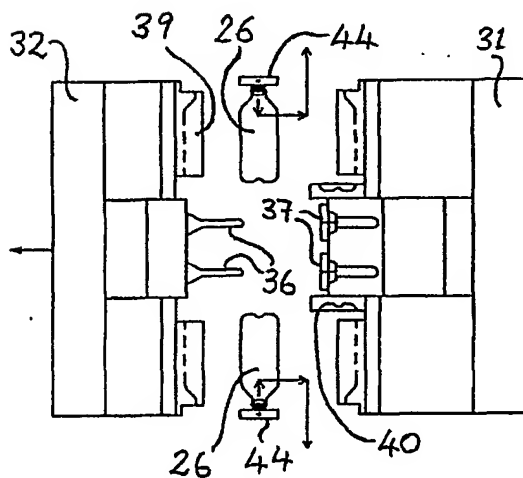


Fig. 11B

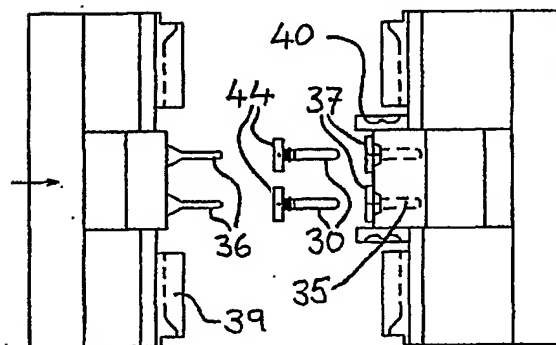


Fig. 11E

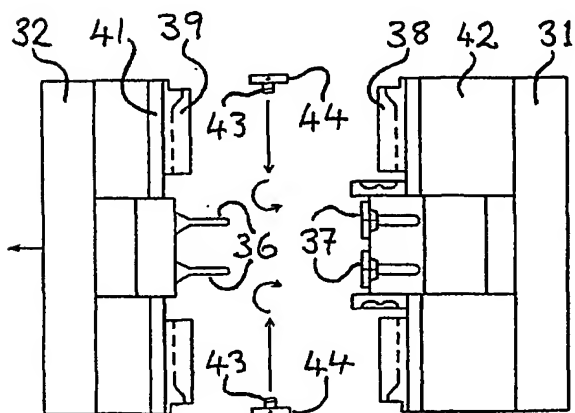


Fig. 11C

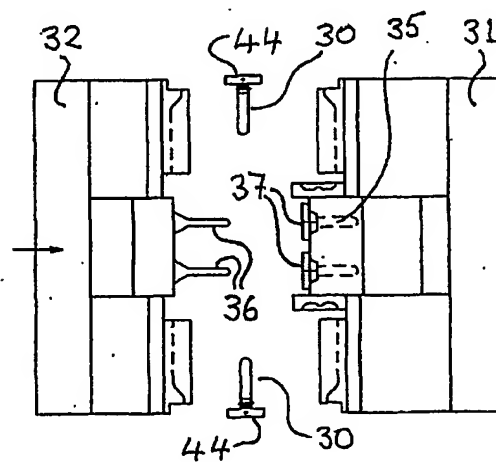


Fig. 11F

12/21

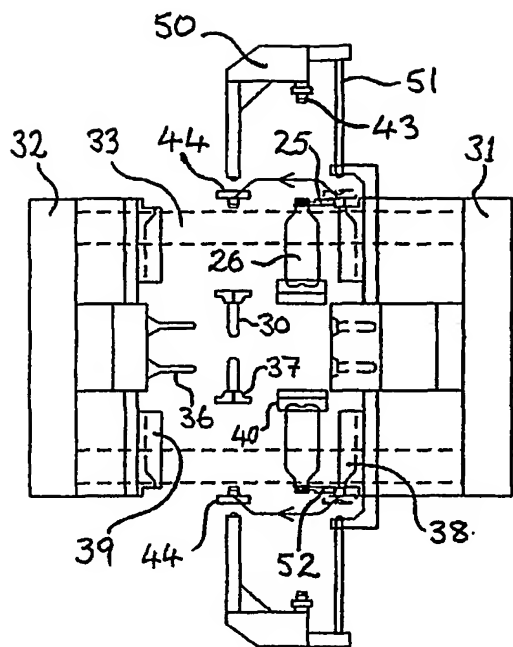


Fig. 12A

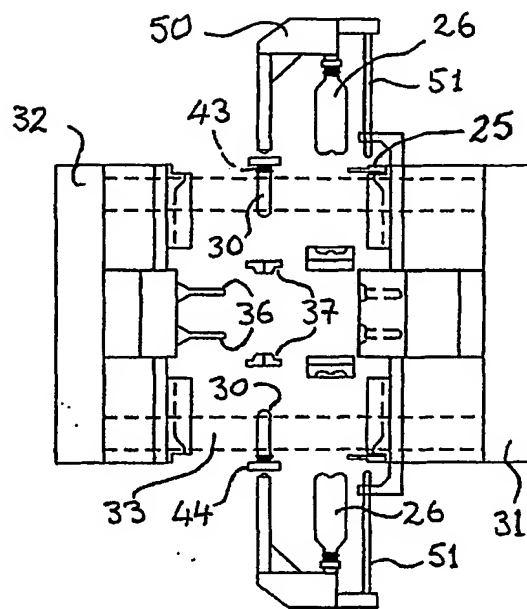


Fig. 12C

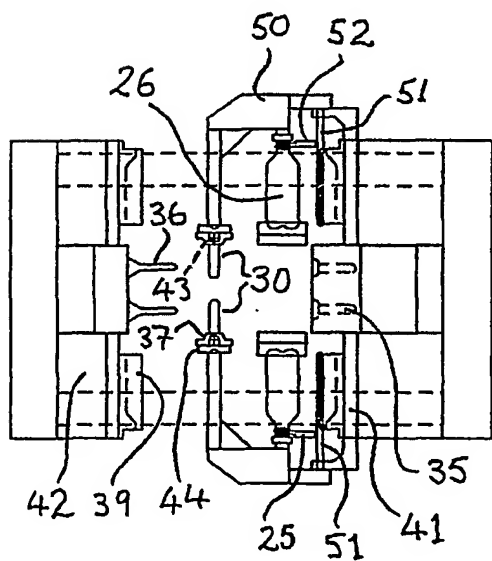


Fig. 12B

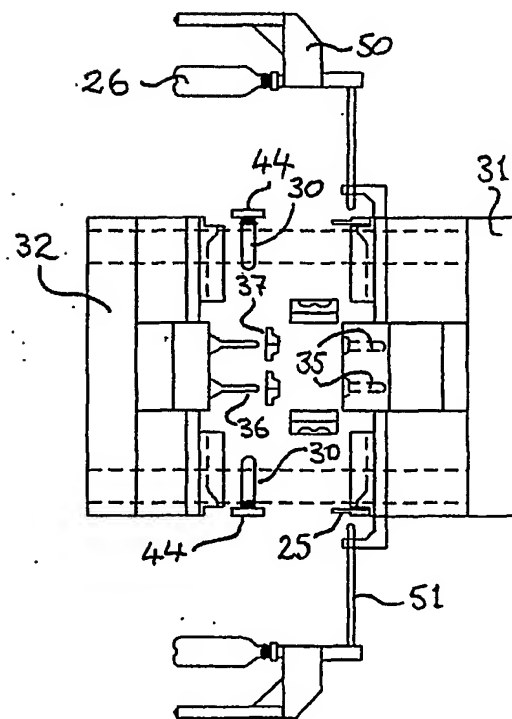


Fig. 12D

13/21

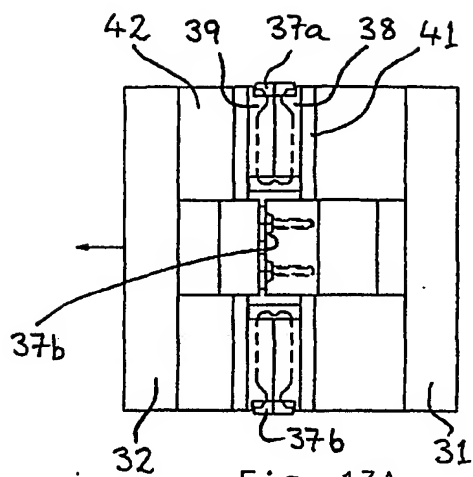


Fig. 13A

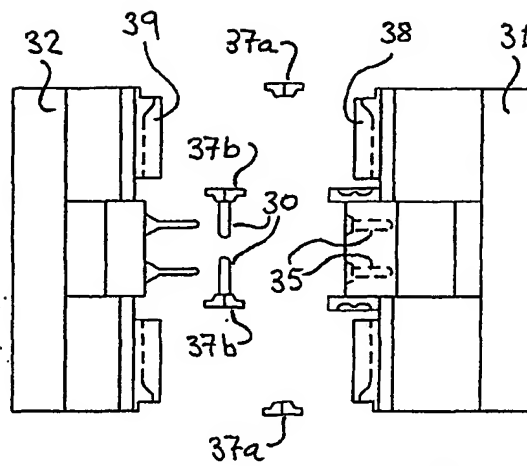


Fig. 13D

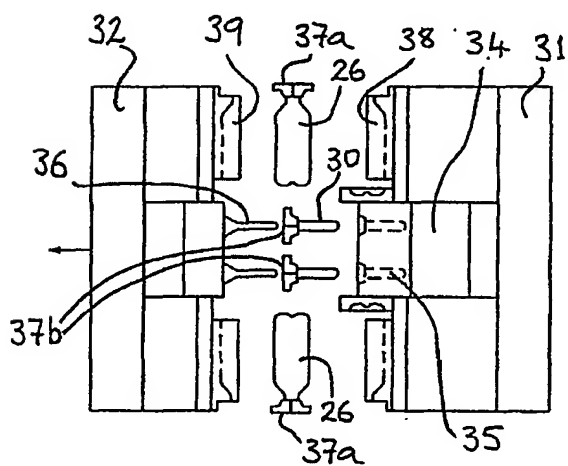


Fig. 13B

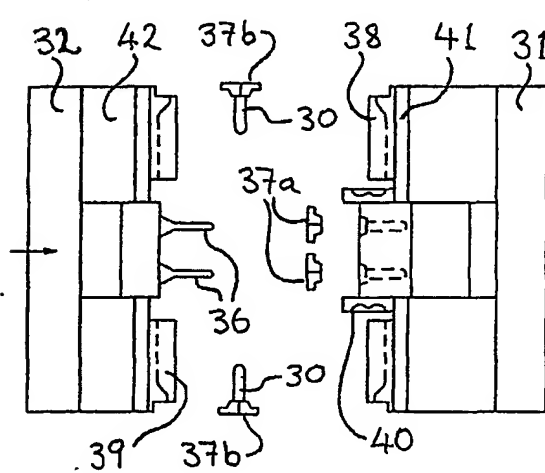


Fig. 13E

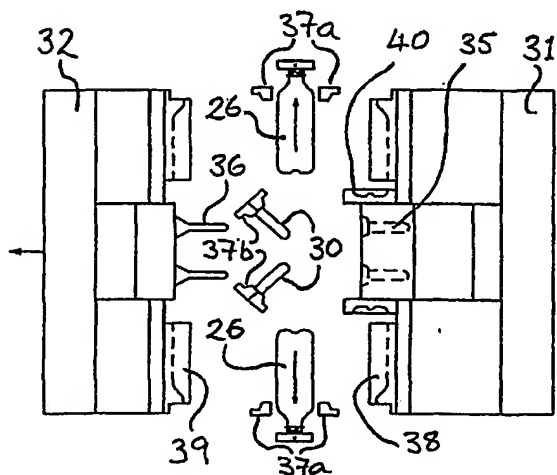


Fig. 13C

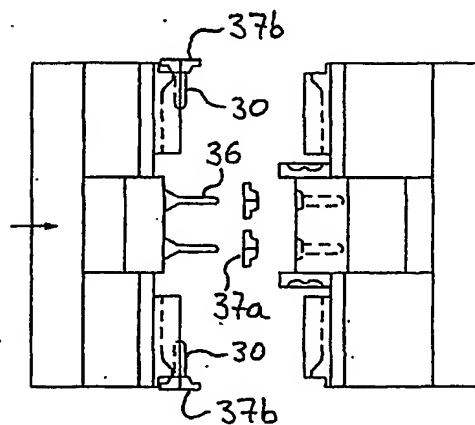


Fig. 13F

14/21

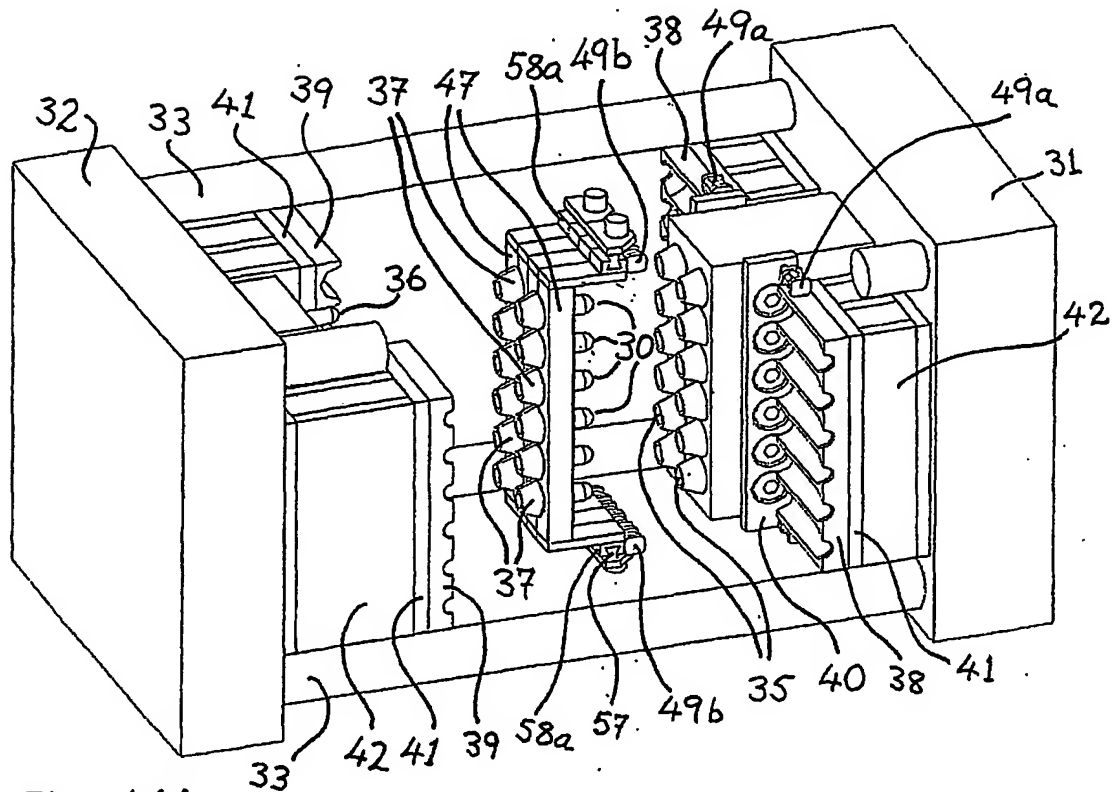


Fig. 14A

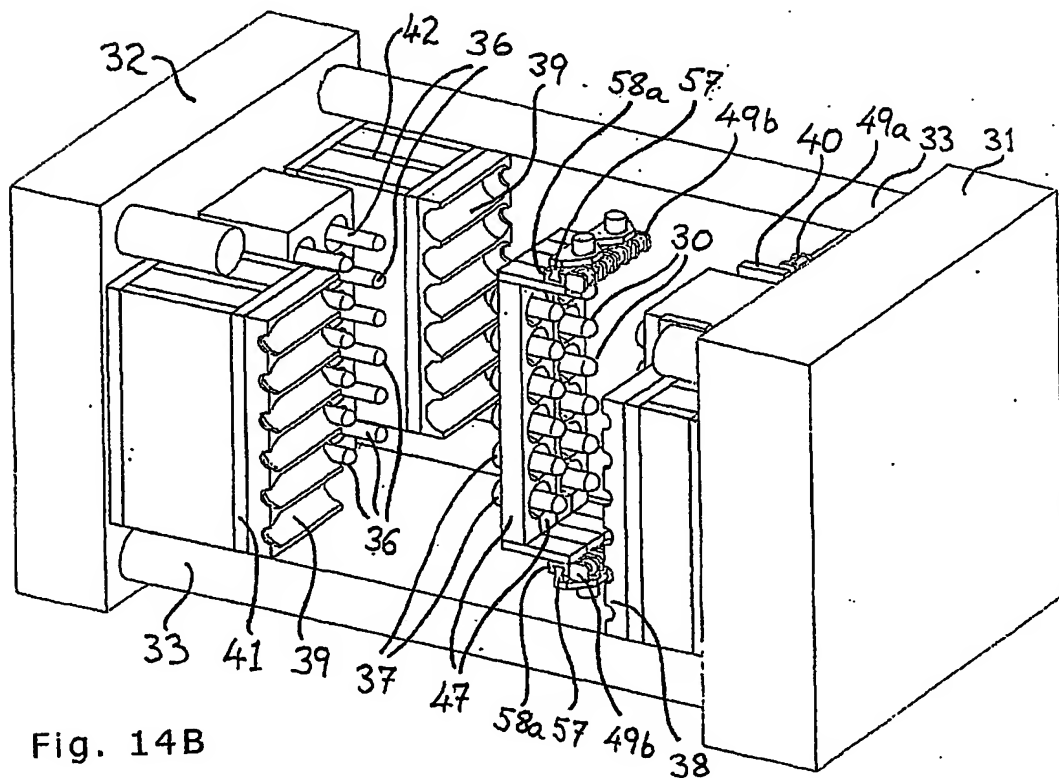
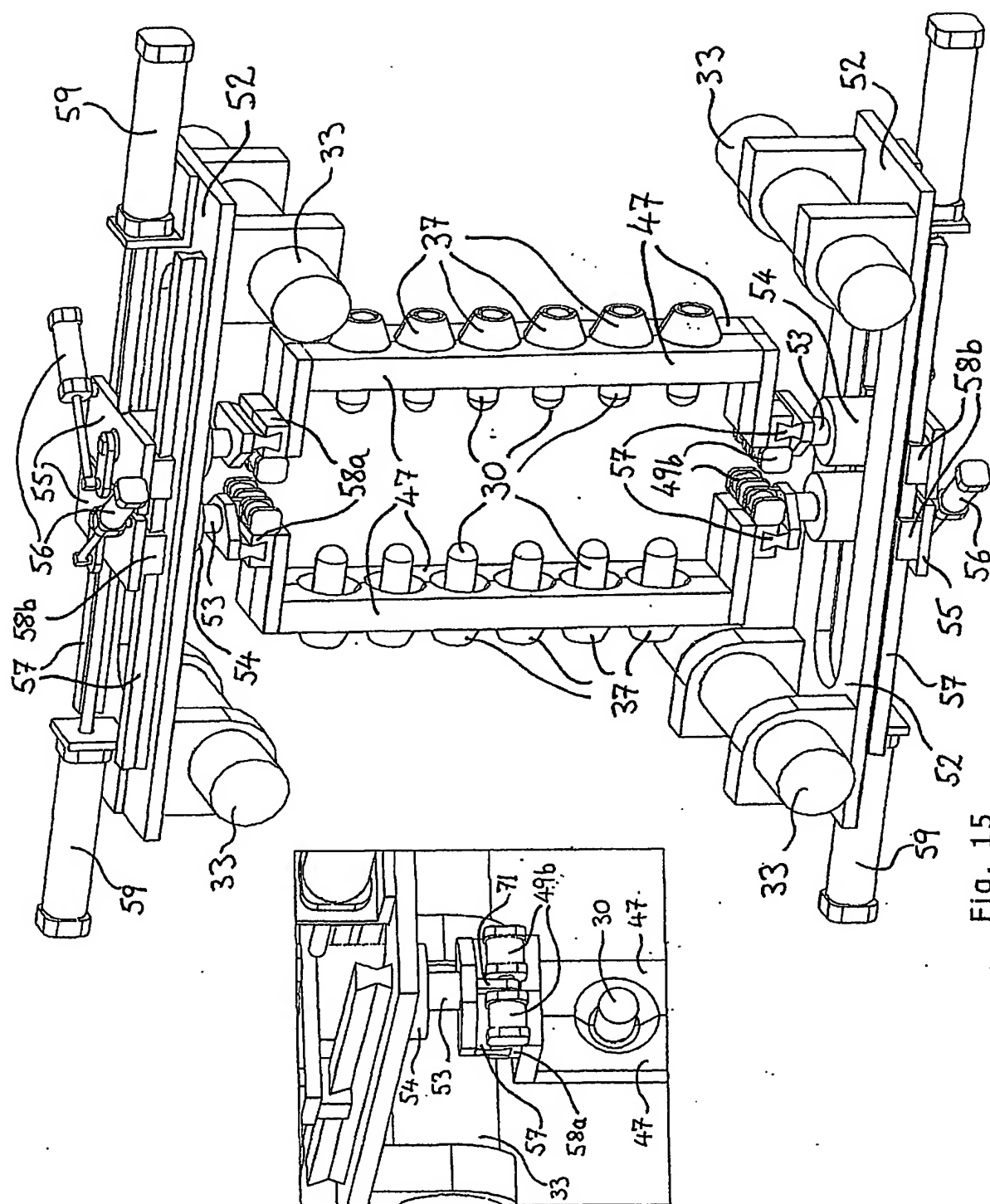


Fig. 14B



16/21

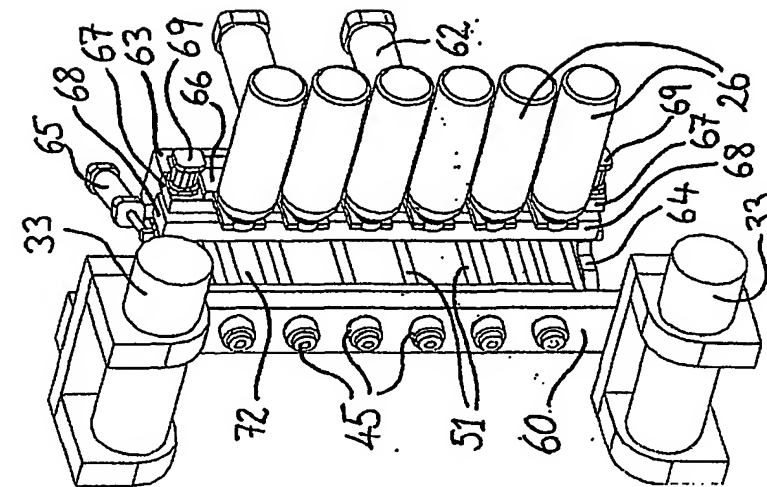


Fig. 16A

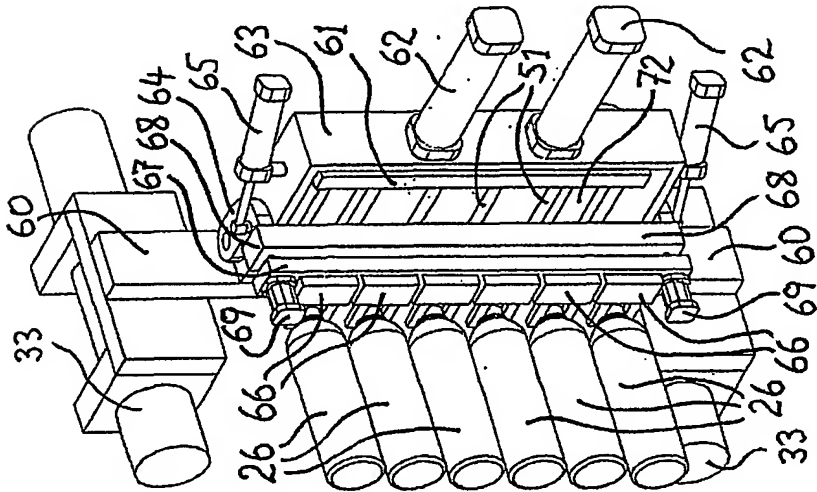


Fig. 16B

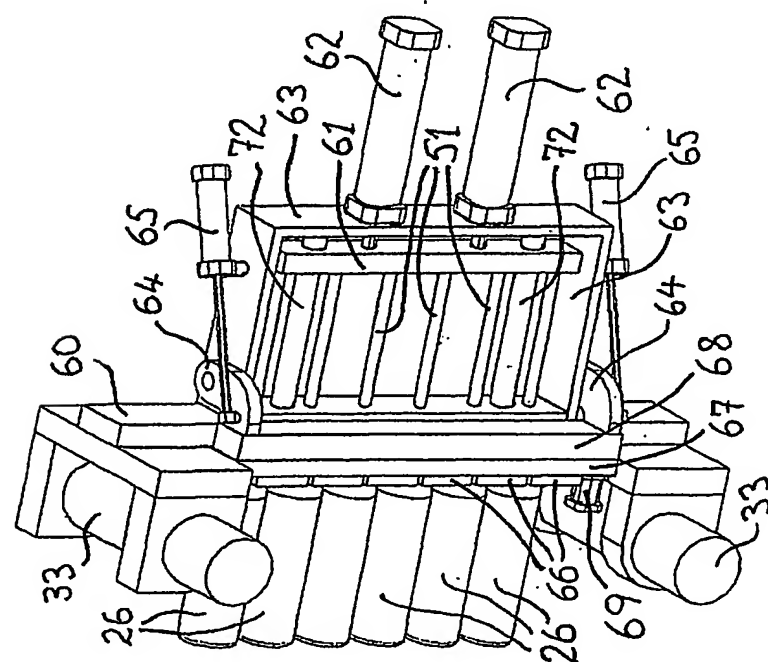


Fig. 16C



17/21

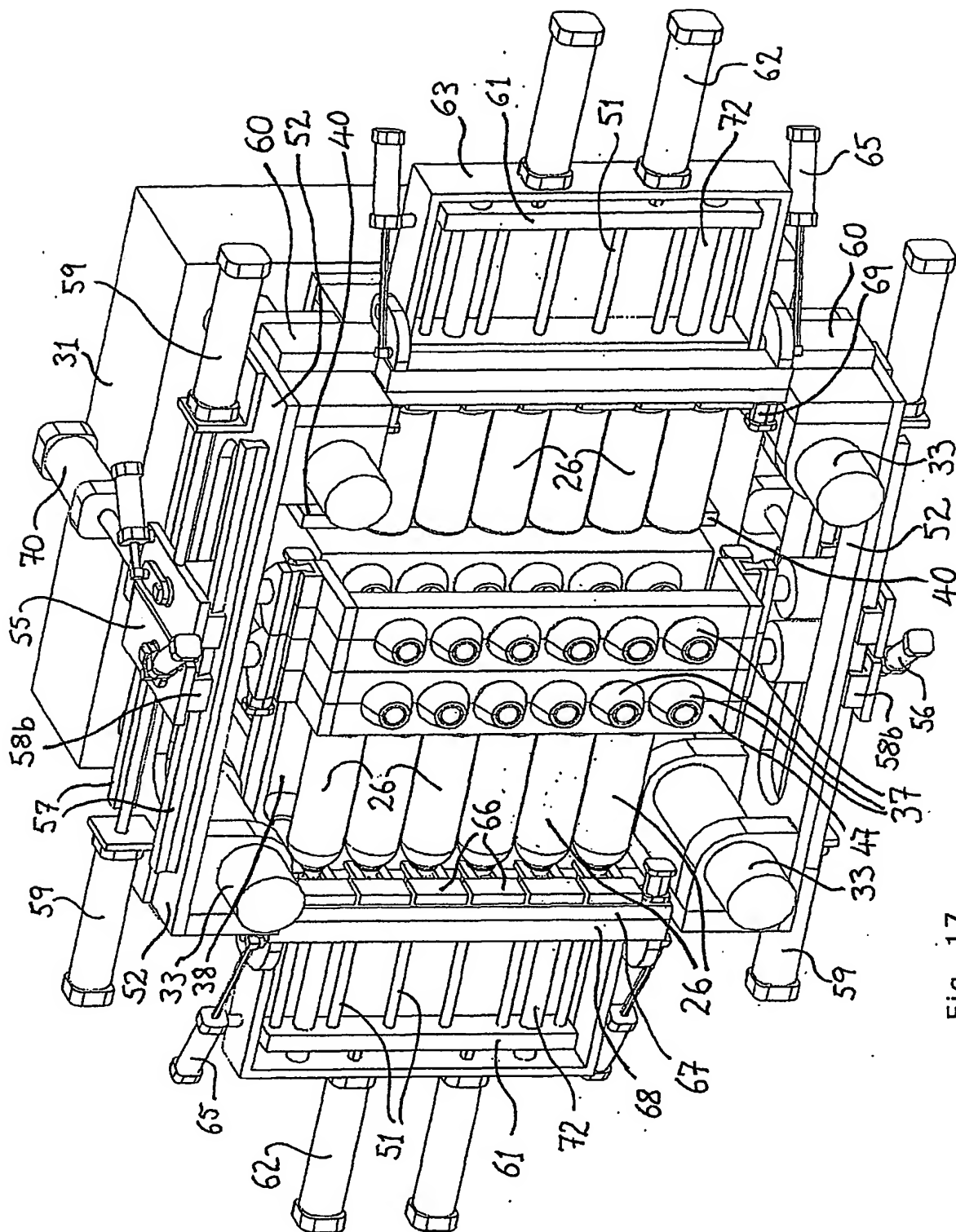


Fig. 17

18/21

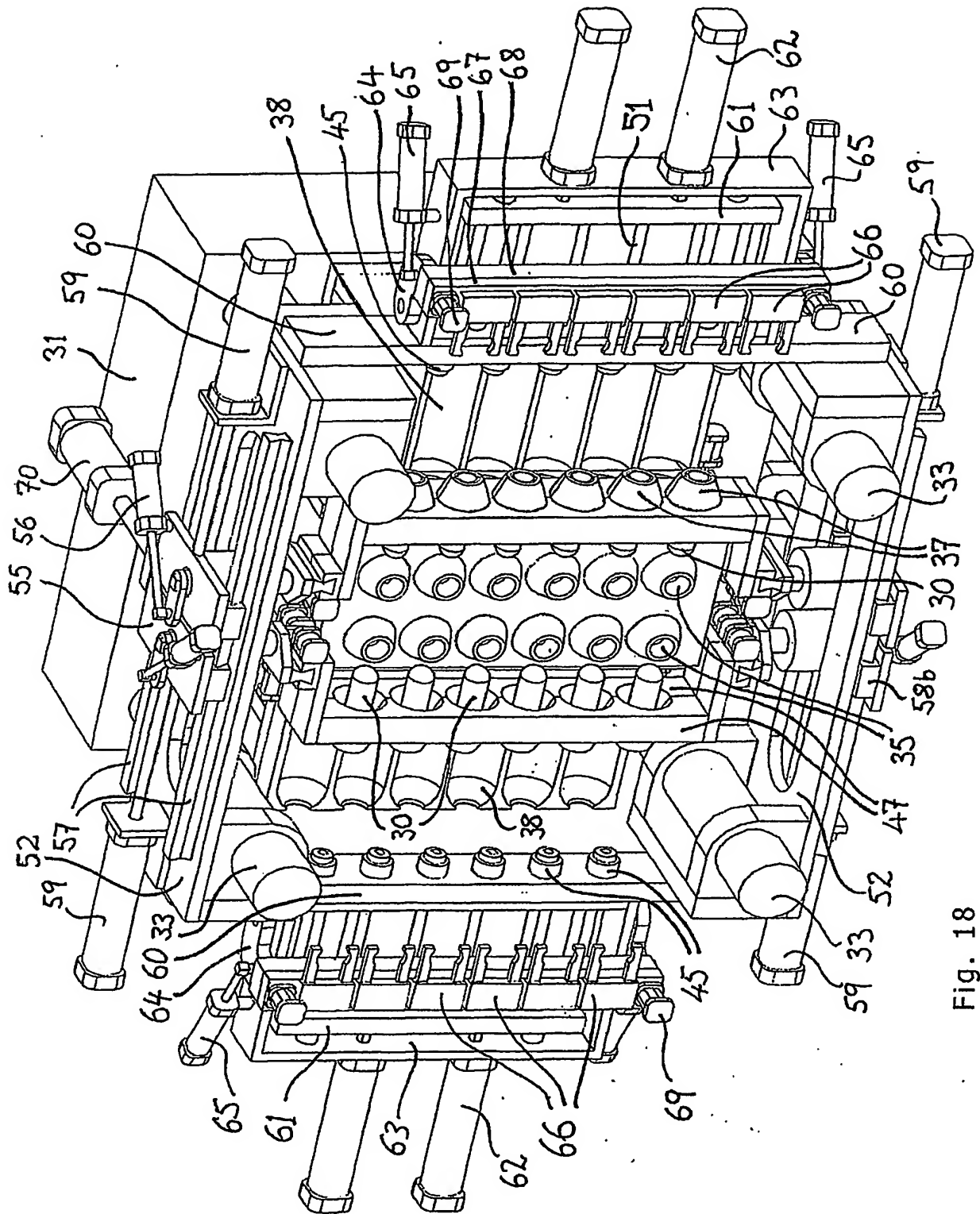


Fig. 18

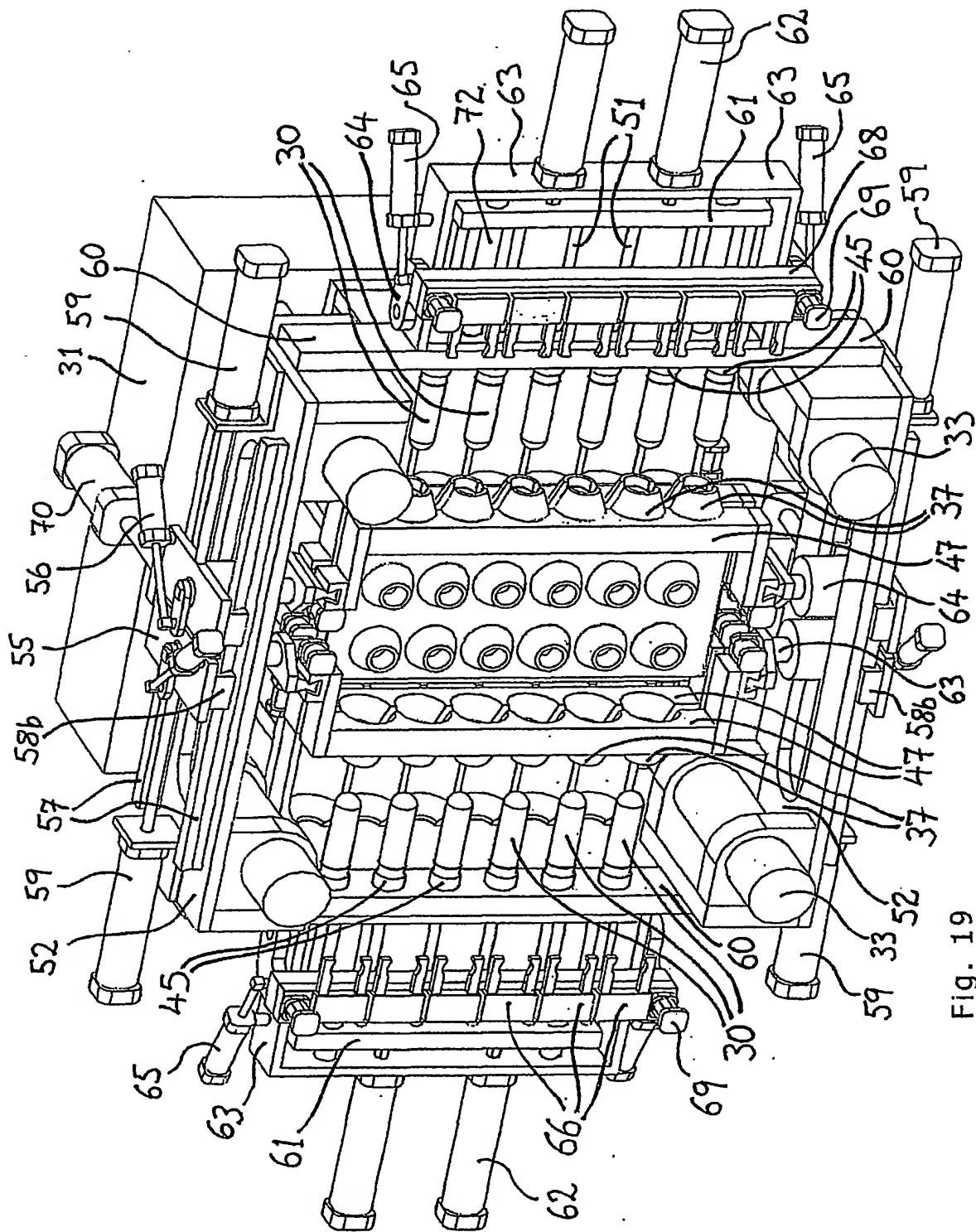


Fig. 19

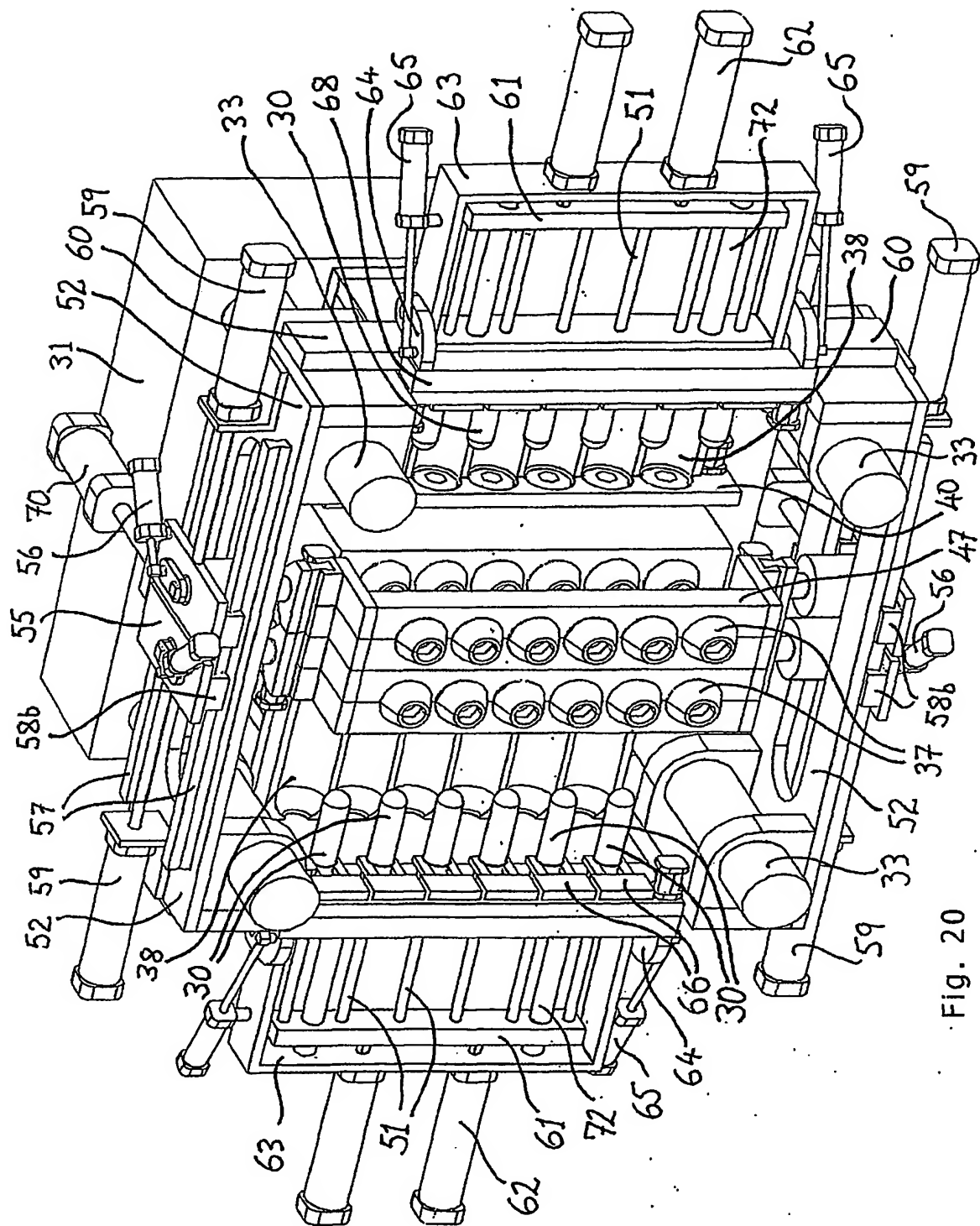


Fig. 20

21/21

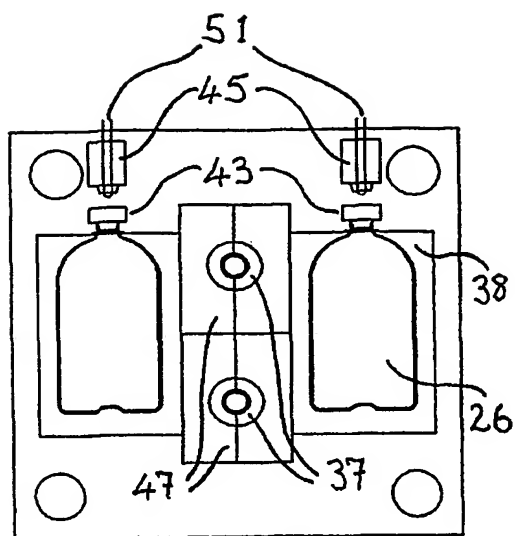


Fig. 21A

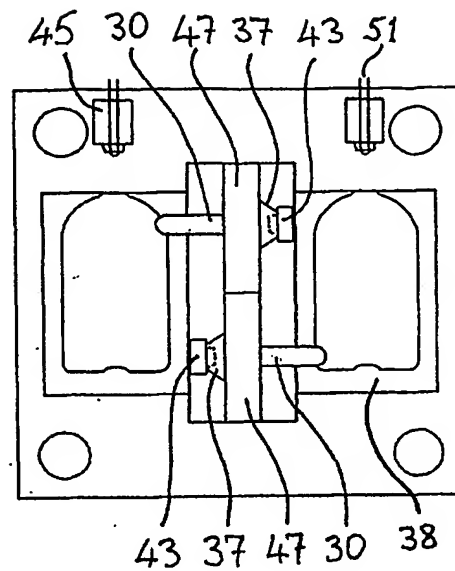


Fig. 21C

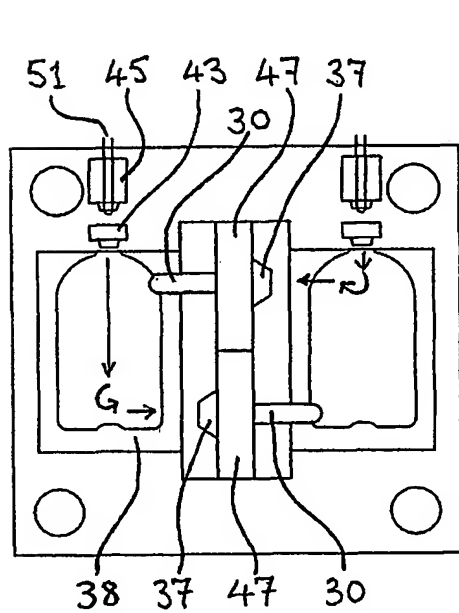


Fig. 21B

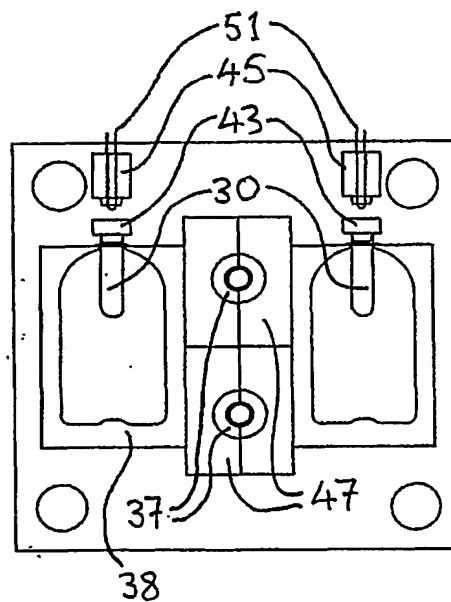


Fig. 21D